

Genèse et particularités des roches marneuses et argileuses

J. Yans



Quelques altérites sur roches marneuses/argileuses en Belgique



Processus d'altération météorique (exemple: Ardenne)

PALAEOZOIC		MESOZOIC		CENOZOIC		ERA					
Early	Dev.	Carb.	Pm	Trias.	Juras.	Cretac.	Paleog	Neog.	IV	Age (Ma)	tectonism
Caledonian										23.5	Alpine

pedogenèse
incision des vallées

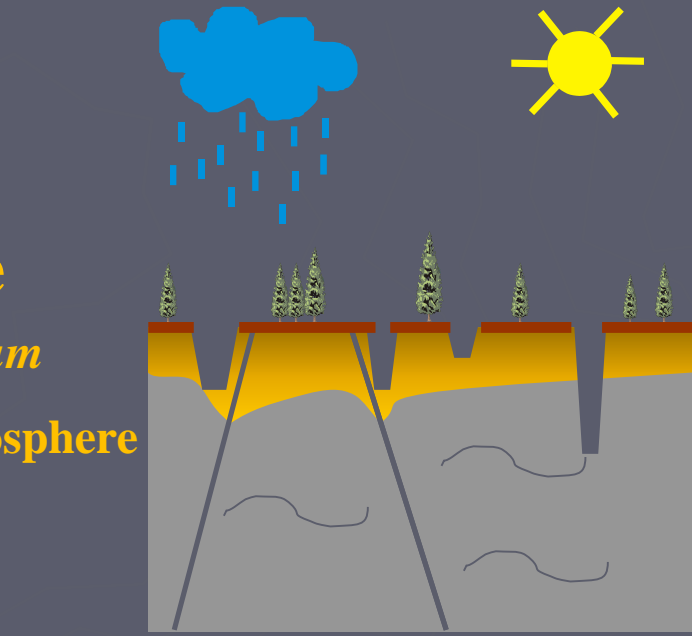
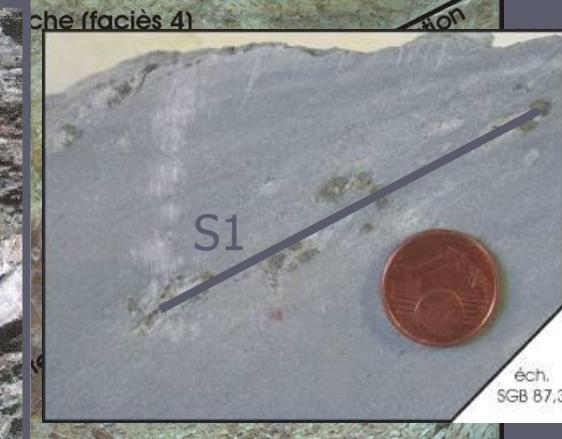
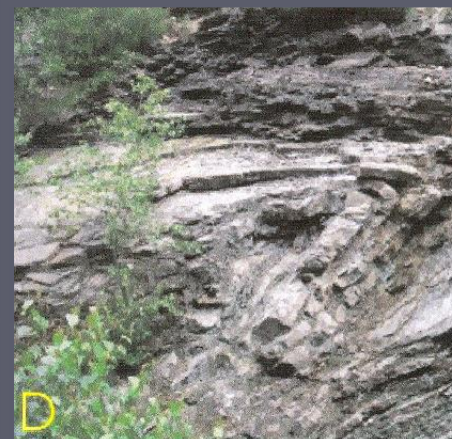
altération météorique

per descensum
contact
atmosphère-lithosphère

Paramètres
Protolith (roche-mère)
Fracturation - géodynamique
(climat)

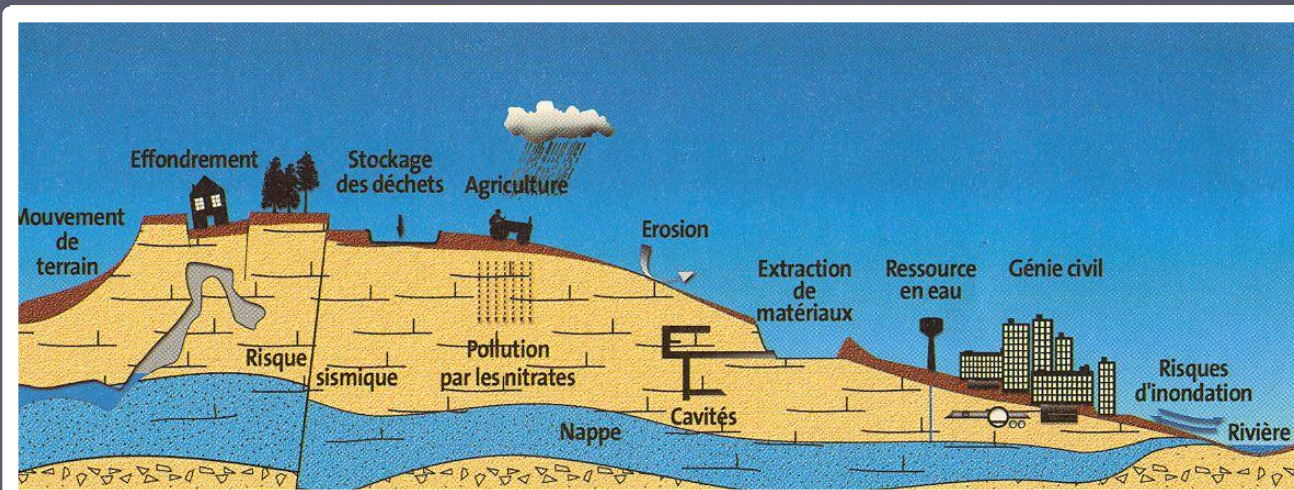
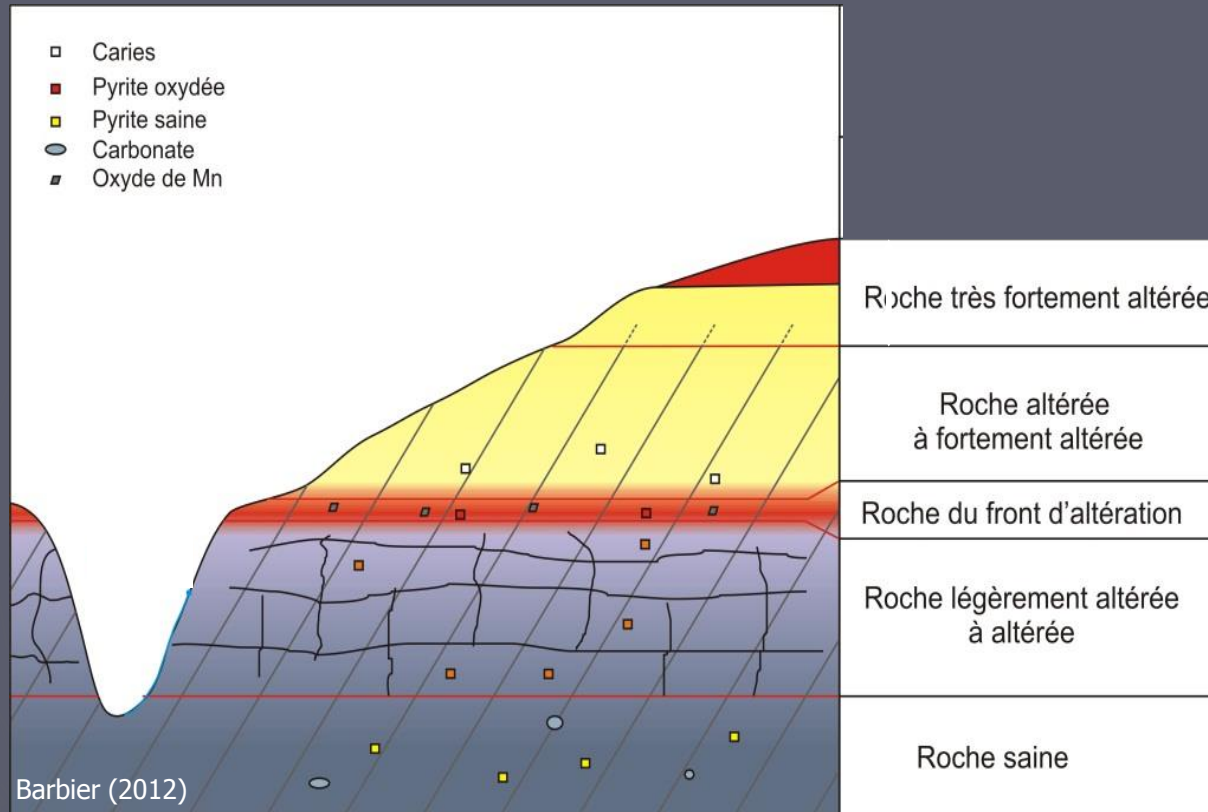
tectonique

sédimentation

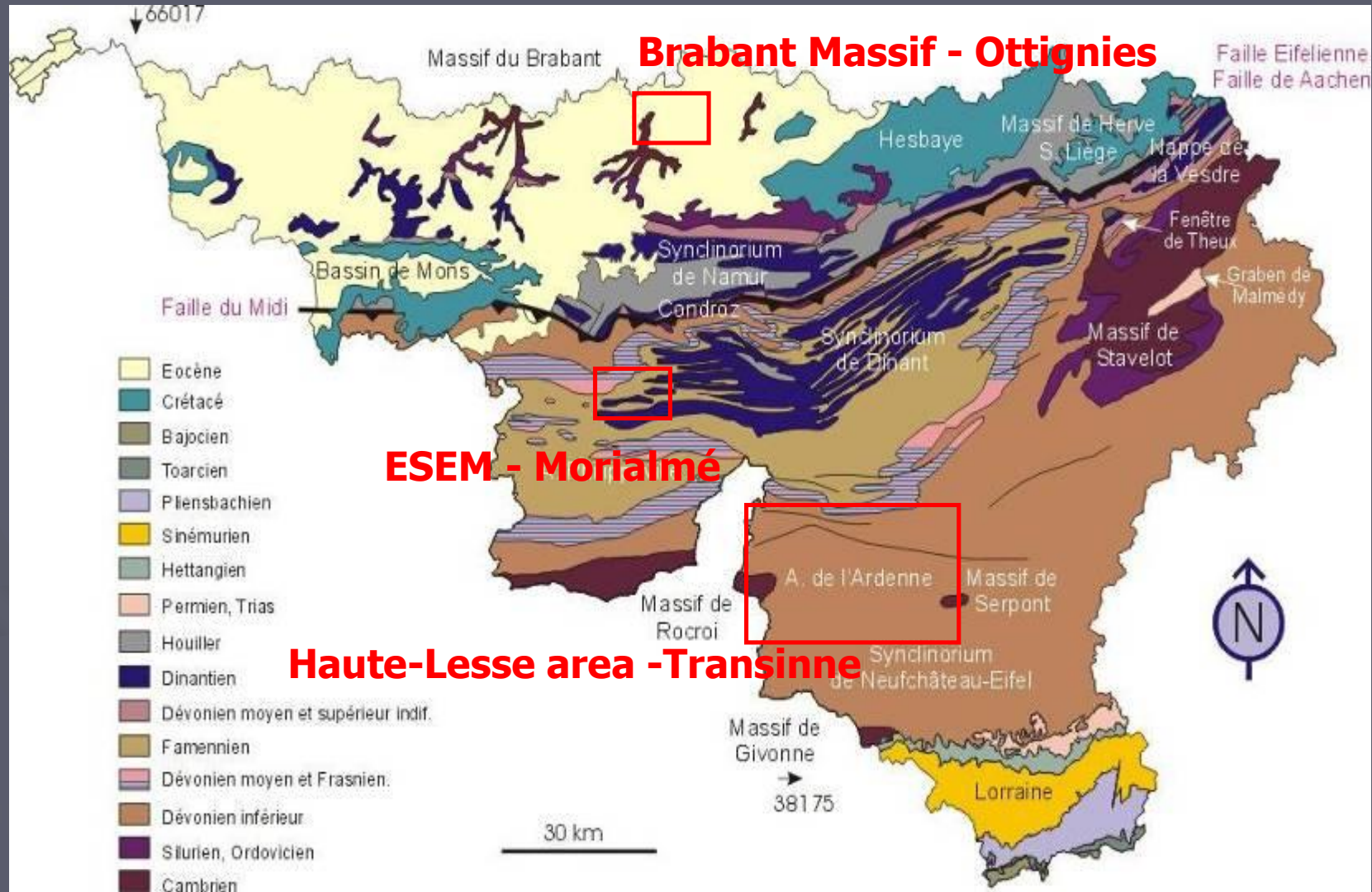


Intérêts de l'étude des roches altérées wallonnes

- Caries
- Pyrite oxydée
- Pyrite saine
- Carbonate
- Oxyde de Mn



Différentes régions sur "socle argilo-marneux" => altération météorique variable



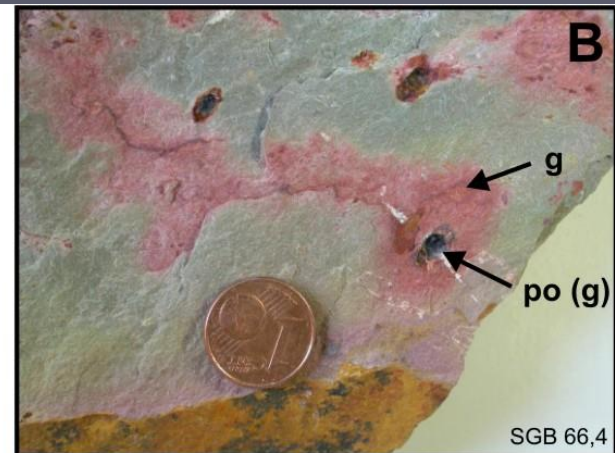
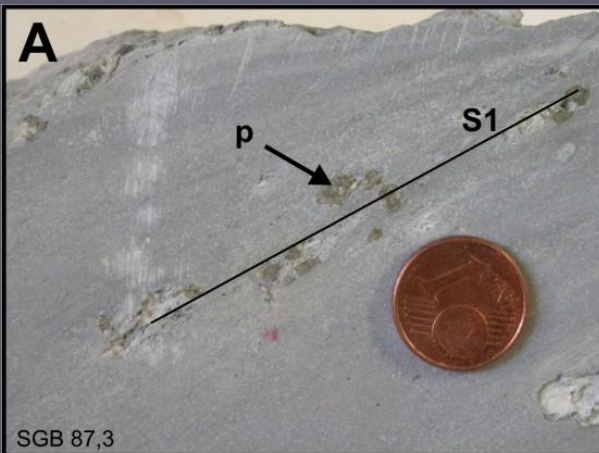
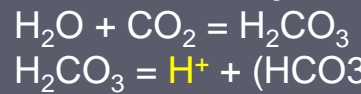
Haute-Lesse



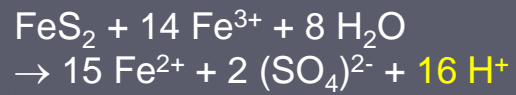
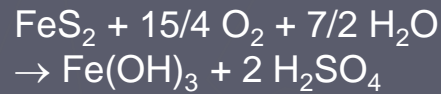
Paramètres :
Protolith (pH)
Fracturation - géodynamique
(climat)

Acidification

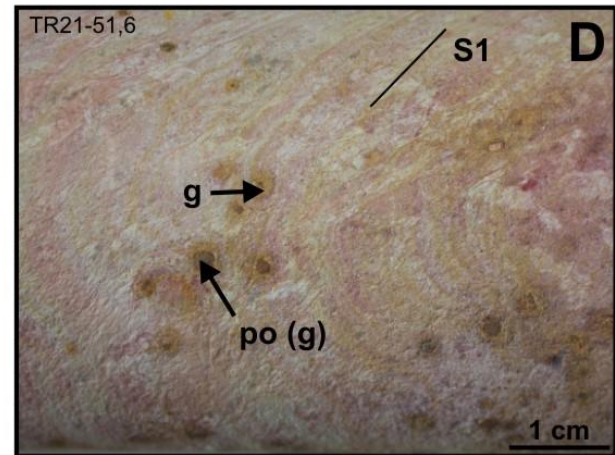
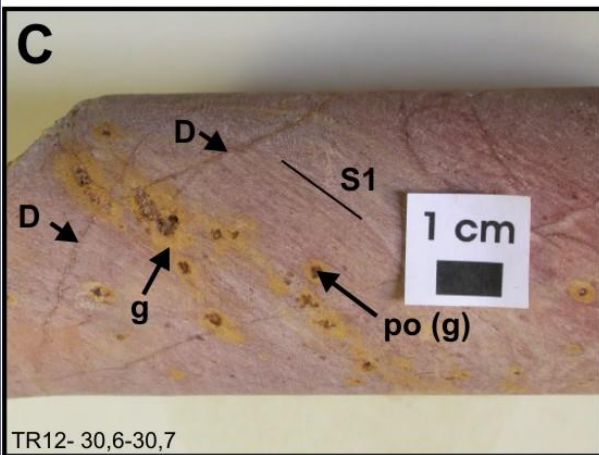
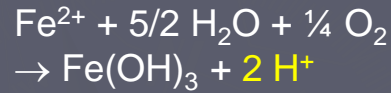
Acide carbonique



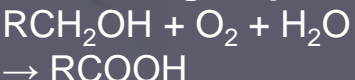
Acide sulfurique



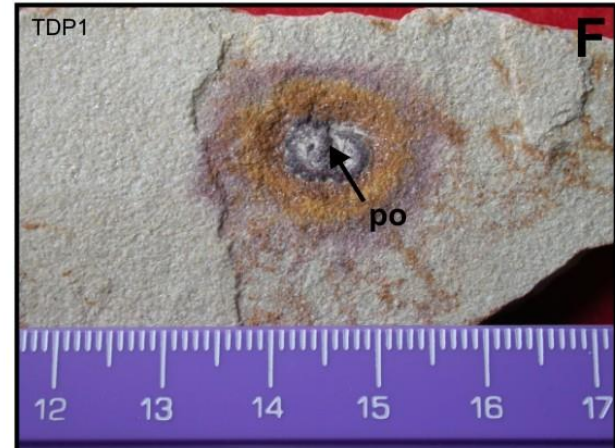
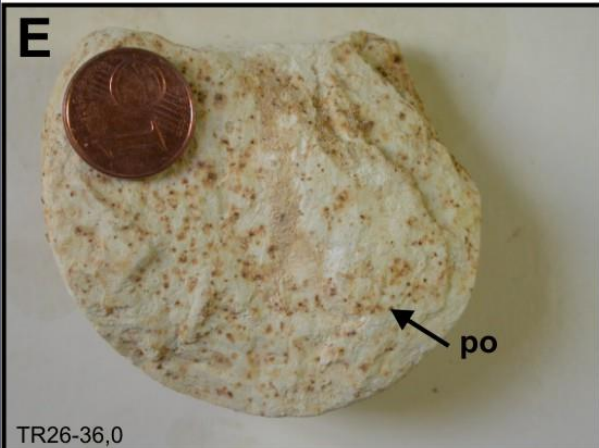
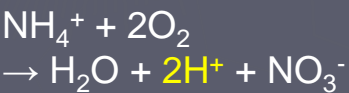
environnement supergène :



Matière organique ?



Groupement organique

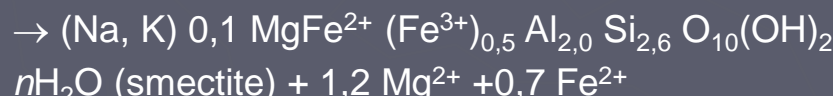


Neutralisation

Neutralisation par les carbonates



Neutralisation par la chlorite



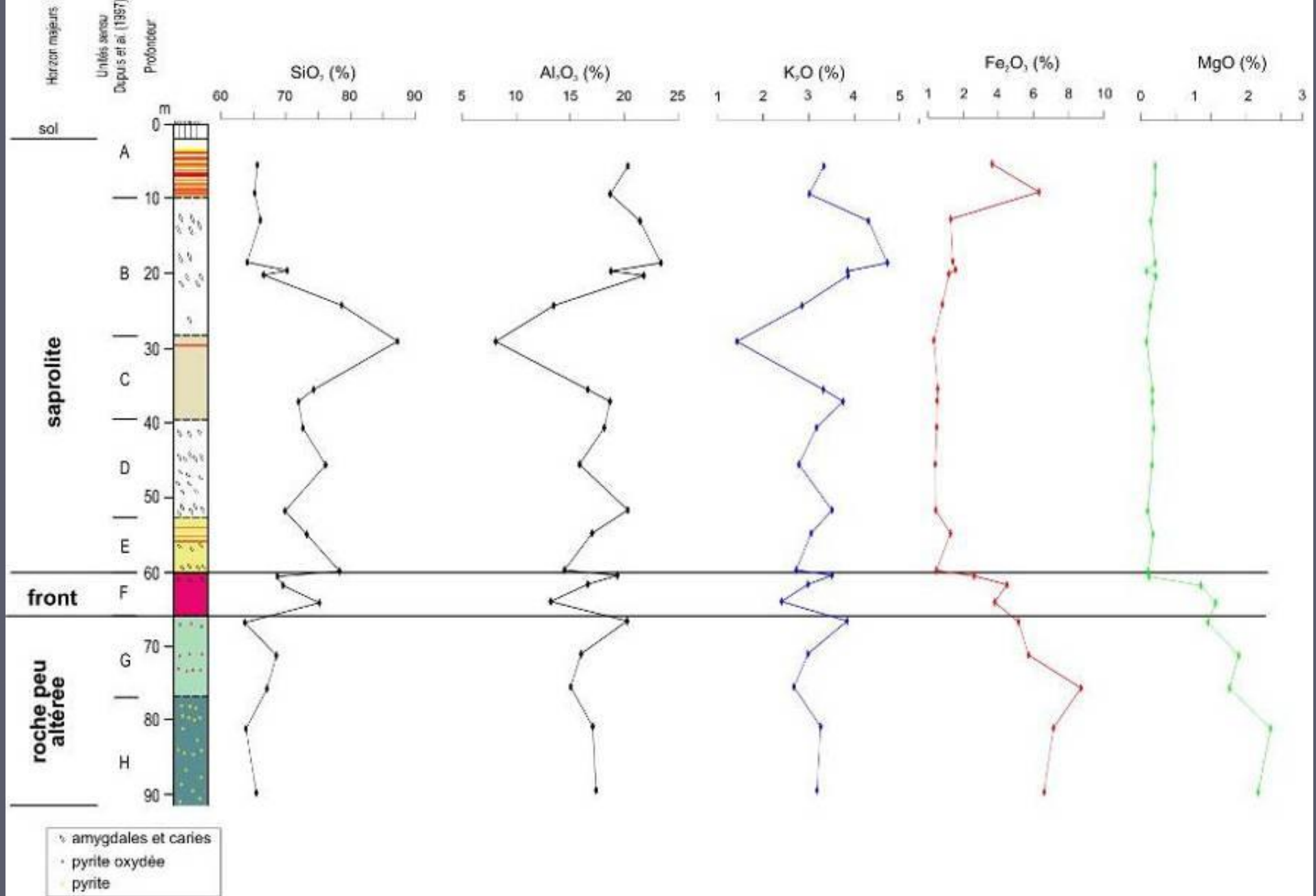
ou plus simplement,

chlorite + 2x H⁺ → smectite/kaolinite clay

+ x (Mg²⁺, Fe²⁺) + nH₂O



Chimie



Indice d'altération

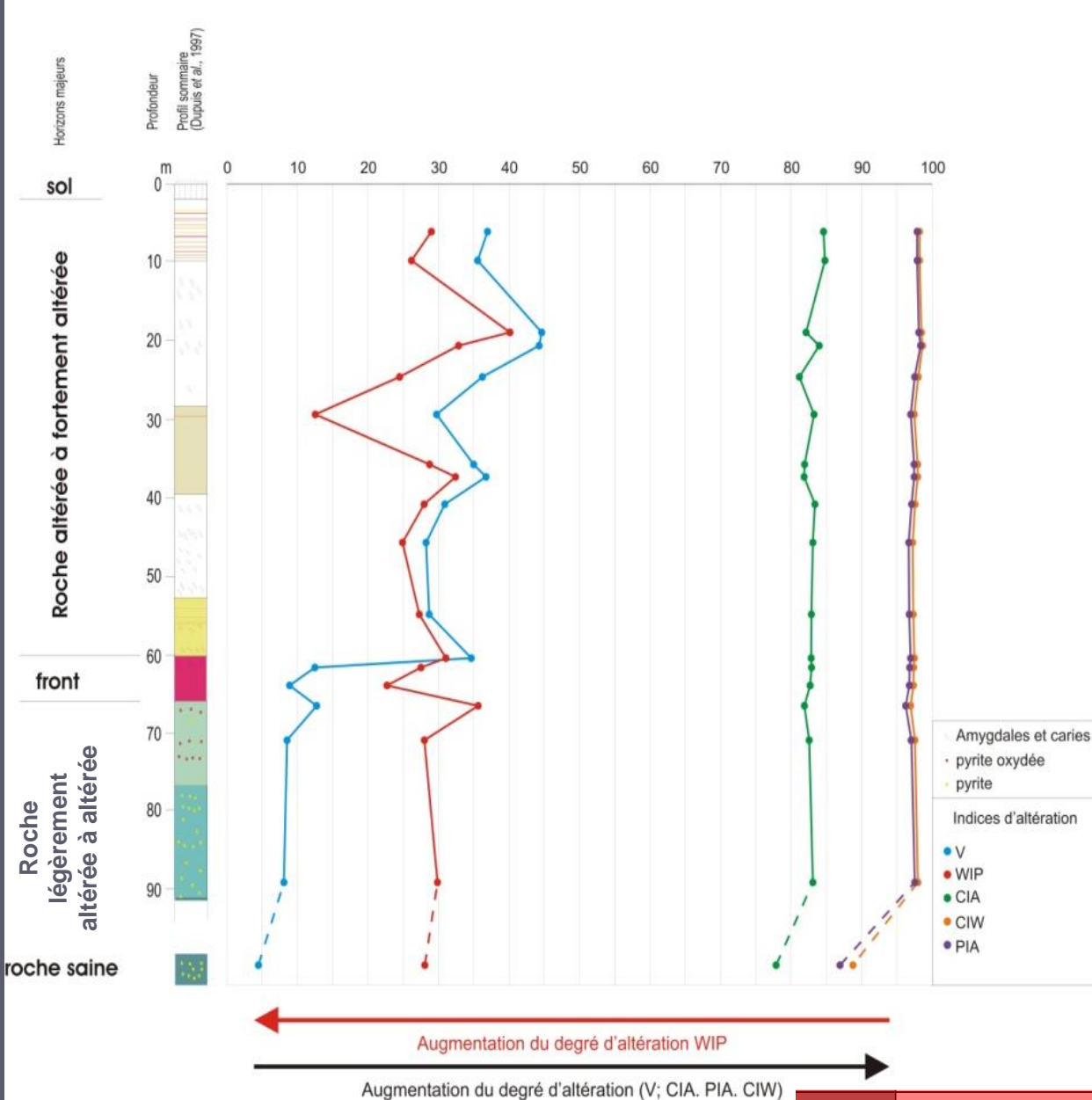
- ▶ Quantification du degré d'altération météorique
- ▶ Mobilité éléments chimiques majeurs (Al, Na, Mg, K, Ca)

Summary of weathering indices (if calculated using molecular proportions of elements oxides) evaluated in this study

Index	Formula	Optimum fresh value	Optimum weathered value	Ideal trend of index up-profile (increase in weathering)	Allows Al mobility	Reference
R	$\text{SiO}_2/\text{Al}_2\text{O}_3$	> 10	0	Negative	No	Ruxton (1968)
WIP	$(100)[(2\text{Na}_2\text{O}/0.35)+(\text{MgO}/0.9)+(2\text{K}_2\text{O}/0.25)+(\text{CaO}/0.7)]$	> 100	0	Negative	Yes	Parker (1970) (see also Table 1 of Harnois, 1988)
V	$(\text{Al}_2\text{O}_3+\text{K}_2\text{O})/(\text{MgO}+\text{CaO}+\text{Na}_2\text{O})$	< 1	Infinite	Positive	No	Vogt (1927) (see also Roaldset, 1972)
CIA	$(100)[\text{Al}_2\text{O}_3/(\text{Al}_2\text{O}_3+\text{CaO}+\text{Na}_2\text{O}+\text{K}_2\text{O})]$	≤ 50	100	Positive	No	Nesbitt and Young (1982)
CIW	$(100)[\text{Al}_2\text{O}_3/(\text{Al}_2\text{O}_3+\text{CaO}+\text{Na}_2\text{O})]$	≤ 50	100	Positive	No	Harnois (1988)
PIA	$(100)[(\text{Al}_2\text{O}_3-\text{K}_2\text{O})/(\text{Al}_2\text{O}_3+\text{CaO}+\text{Na}_2\text{O}-\text{K}_2\text{O})]$	≤ 50	100	Positive	No	Fedo et al. (1995)
STI	$(100)[(\text{SiO}_2/\text{TiO}_2)/((\text{SiO}_2/\text{TiO}_2)+(\text{SiO}_2/\text{Al}_2\text{O}_3)+(\text{Al}_2\text{O}_3/\text{TiO}_2))]$	> 90	0	Negative	No	de Jayawardena and Izawa (1994)

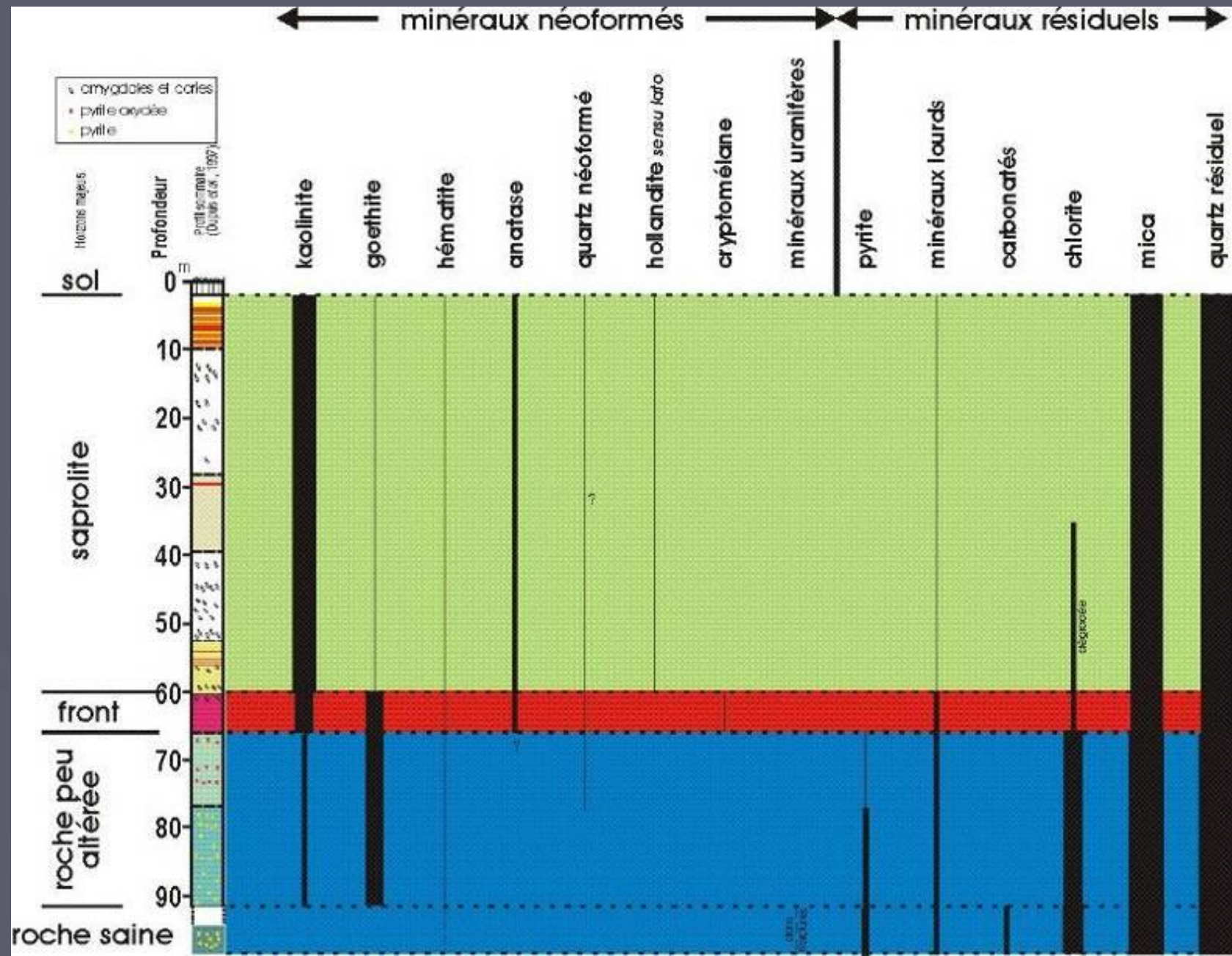
For the weathering of silicate rocks, the CaO must be restricted to that derived from silicate minerals.

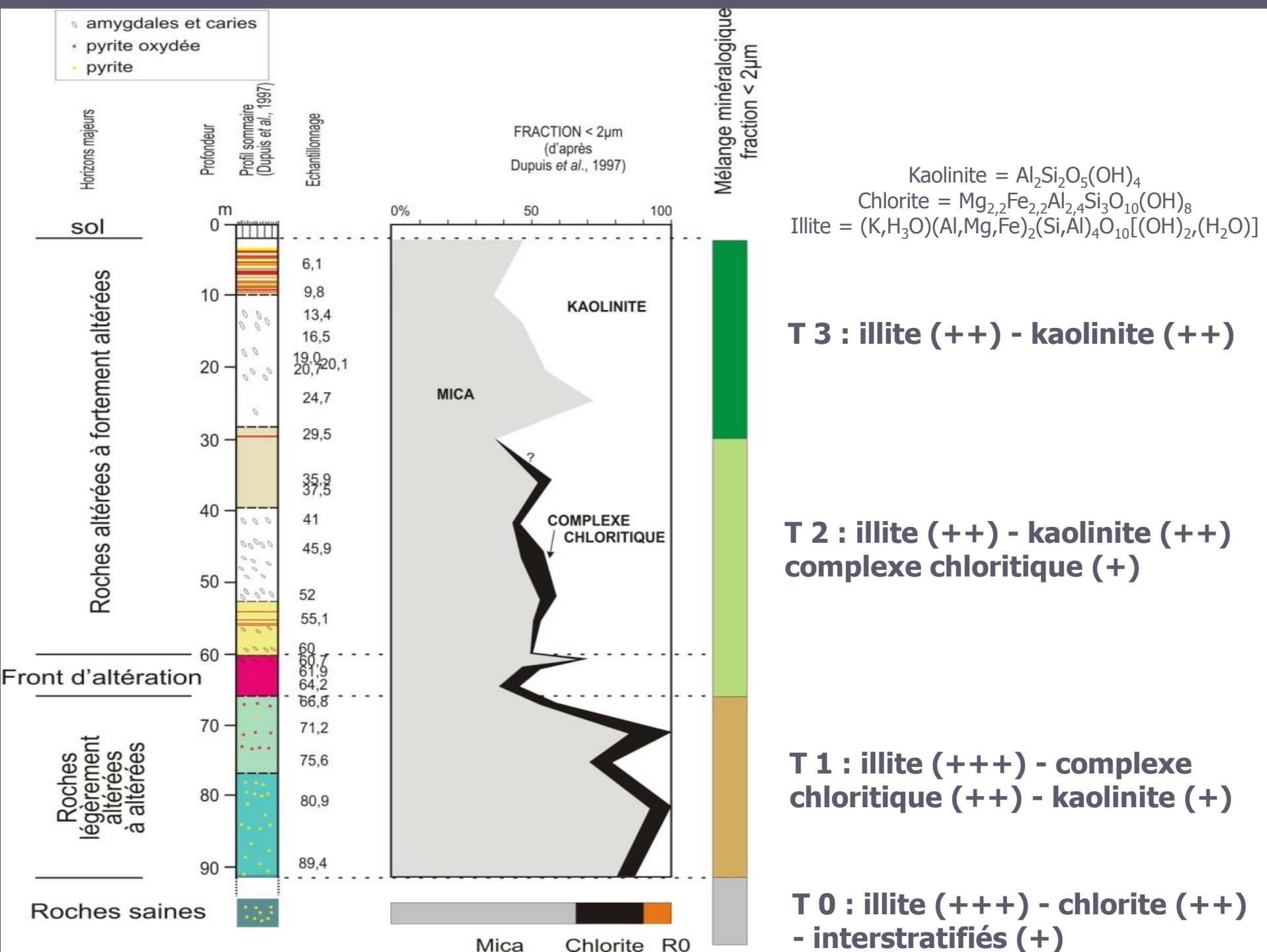
	<i>Indice</i>	<i>Formule</i>	<i>référence</i>
WIP	Weathering index of Parker	$100*((2*\text{Na}_2\text{O}/0.35)+(\text{MgO}/0.9)+(2*\text{K}_2\text{O}/0.25)+(\text{CaO}/0.7))$	Parker ,1970
V	Vogt's Residual Index	$(\text{Al}_2\text{O}_3+\text{K}_2\text{O})/(\text{MgO}+\text{CaO}+\text{Na}_2\text{O})$	Vogt, 1927
CIA	Chemical Index of Alteration	$100*(\text{Al}_2\text{O}_3/(\text{Al}_2\text{O}_3+\text{CaO}+\text{Na}_2\text{O}+\text{K}_2\text{O}))$	Nesbitt et Young, 1982
CIW	Chemical index of weathering	$100*(\text{Al}_2\text{O}_3/(\text{Al}_2\text{O}_3+\text{CaO}+\text{Na}_2\text{O}))$	Harnois, 1988
PIA	Plagioclase Index of Alteration	$100*((\text{Al}_2\text{O}_3-\text{K}_2\text{O})/(\text{Al}_2\text{O}_3+\text{CaO}+\text{Na}_2\text{O}-\text{K}_2\text{O}))$	Fedo <i>et al.</i> , 1995

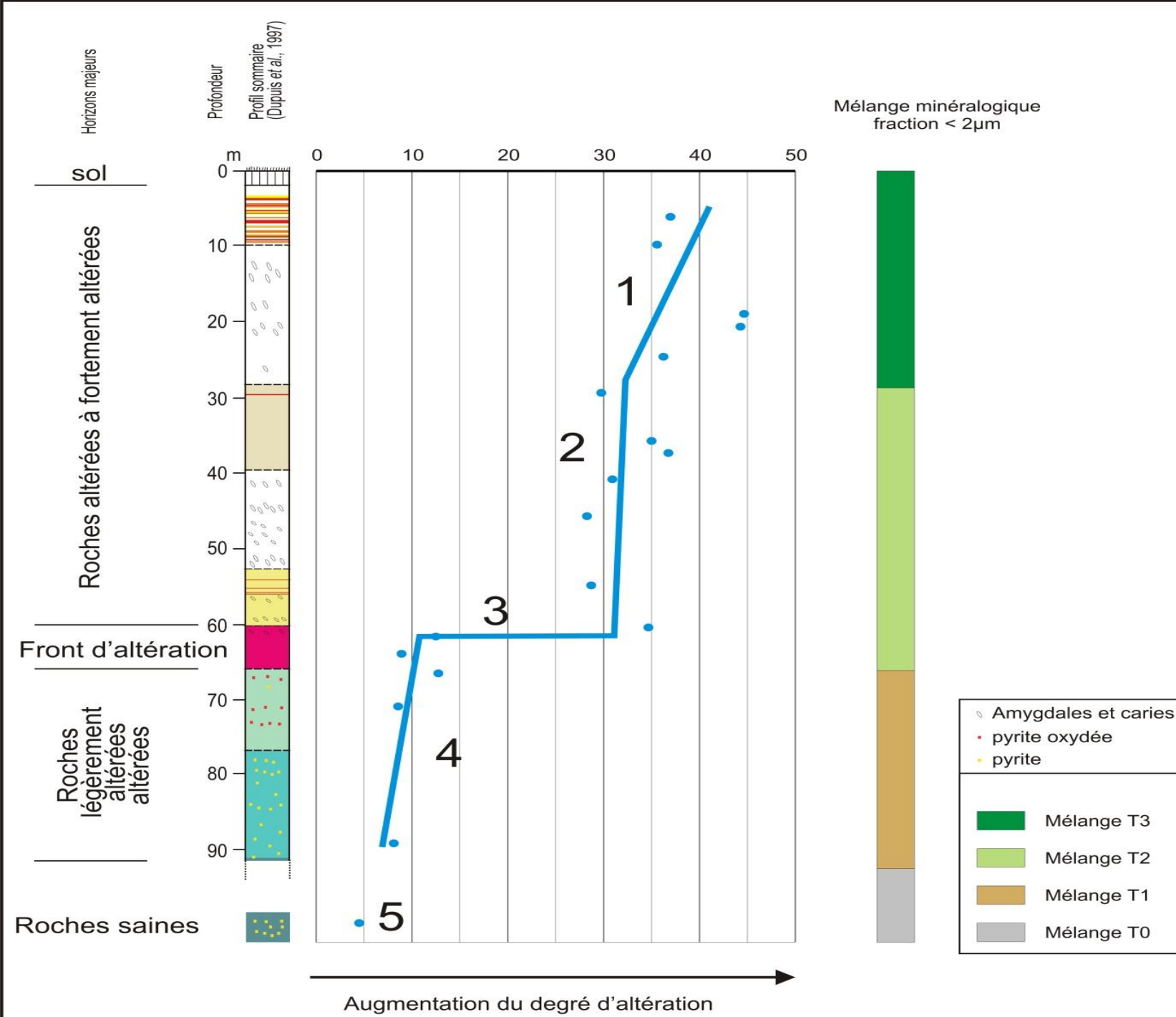


WIP	$100*((2*\text{Na}_2\text{O}/0.35)+(\text{MgO}/0.9)+(2*\text{K}_2\text{O}/0.25)+(\text{CaO}/0.7))$	Parker ,1970
V	$(\text{Al}_2\text{O}_3+\text{K}_2\text{O})/(\text{MgO}+\text{CaO}+\text{Na}_2\text{O})$	Vogt, 1927
CIA	$100*(\text{Al}_2\text{O}_3/(\text{Al}_2\text{O}_3+\text{CaO}+\text{Na}_2\text{O}+\text{K}_2\text{O}))$	Nesbitt et Young, 1982
CIW	$100*(\text{Al}_2\text{O}_3/(\text{Al}_2\text{O}_3+\text{CaO}+\text{Na}_2\text{O}))$	Harnois, 1988
PIA	$100*((\text{Al}_2\text{O}_3-\text{K}_2\text{O})/(\text{Al}_2\text{O}_3+\text{CaO}+\text{Na}_2\text{O}-\text{K}_2\text{O}))$	Fedo et al., 1995

Minéralogie







Outils de cartographie

Méthodes directes

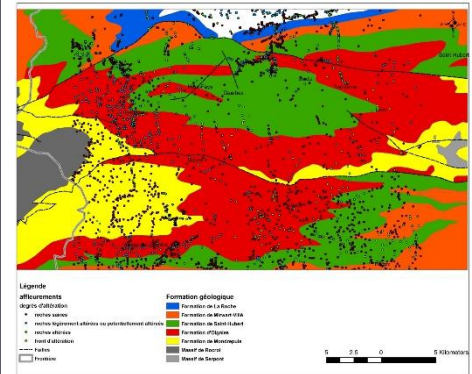
Tarières



Affleurements



BD-Topographie

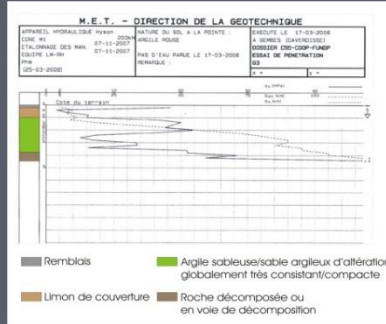


Forages



Méthodes indirectes

"Essais de sol "



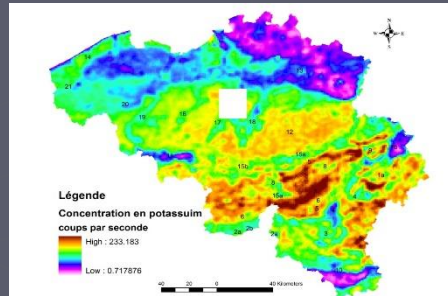
Tomographie électrique



Profil sismique



Radiométrie aéroportée

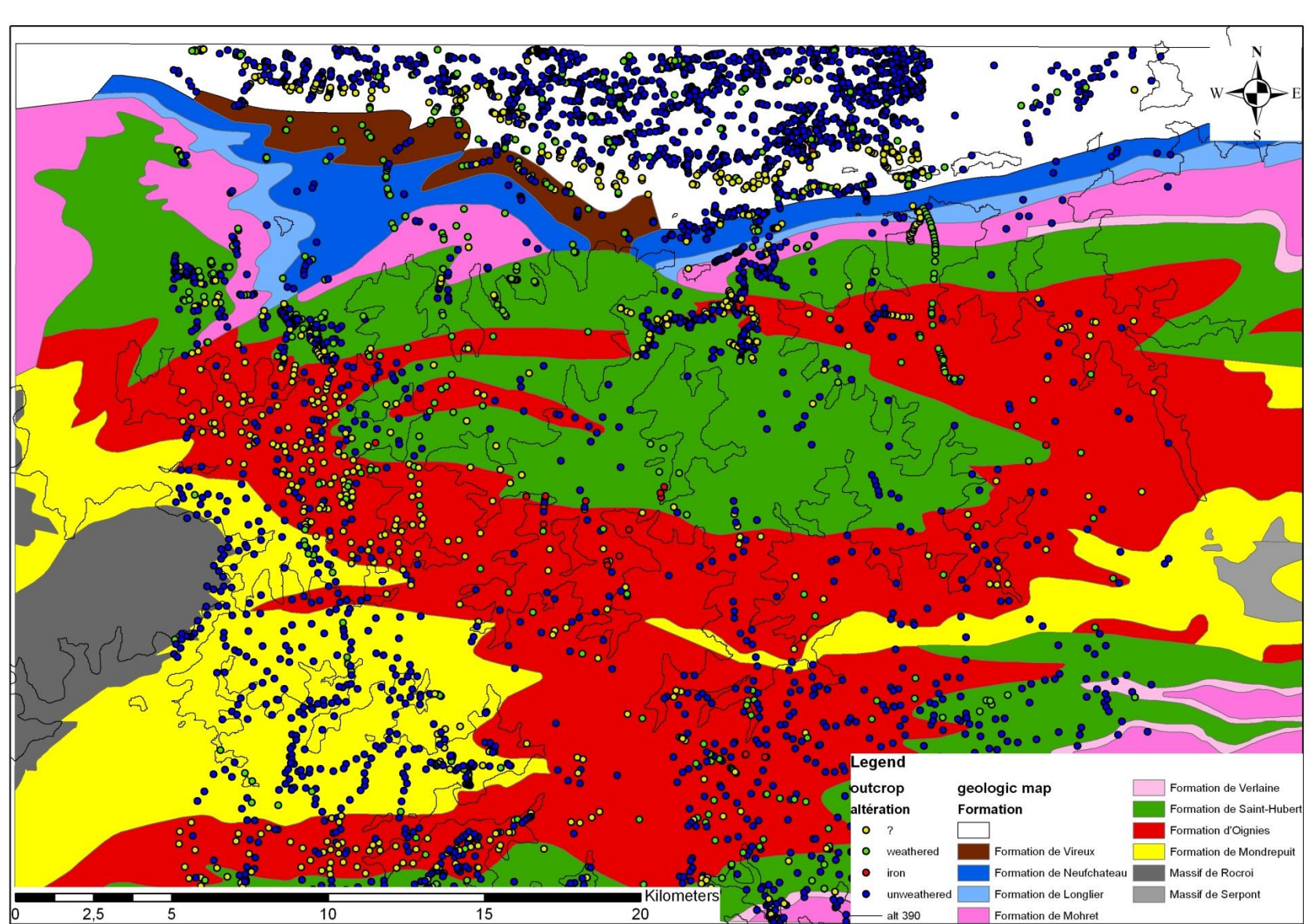


Terrain

- ▶ Affleurements
- ▶ Tarières



Terrain



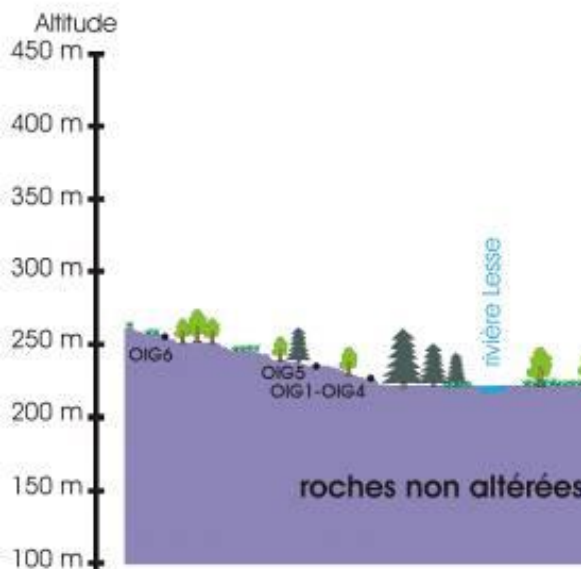
Topographie

Vallée de la Lesse et de la Mache
(site du "Moulin de Daverdisse")

Carrière de Transinne

WNW

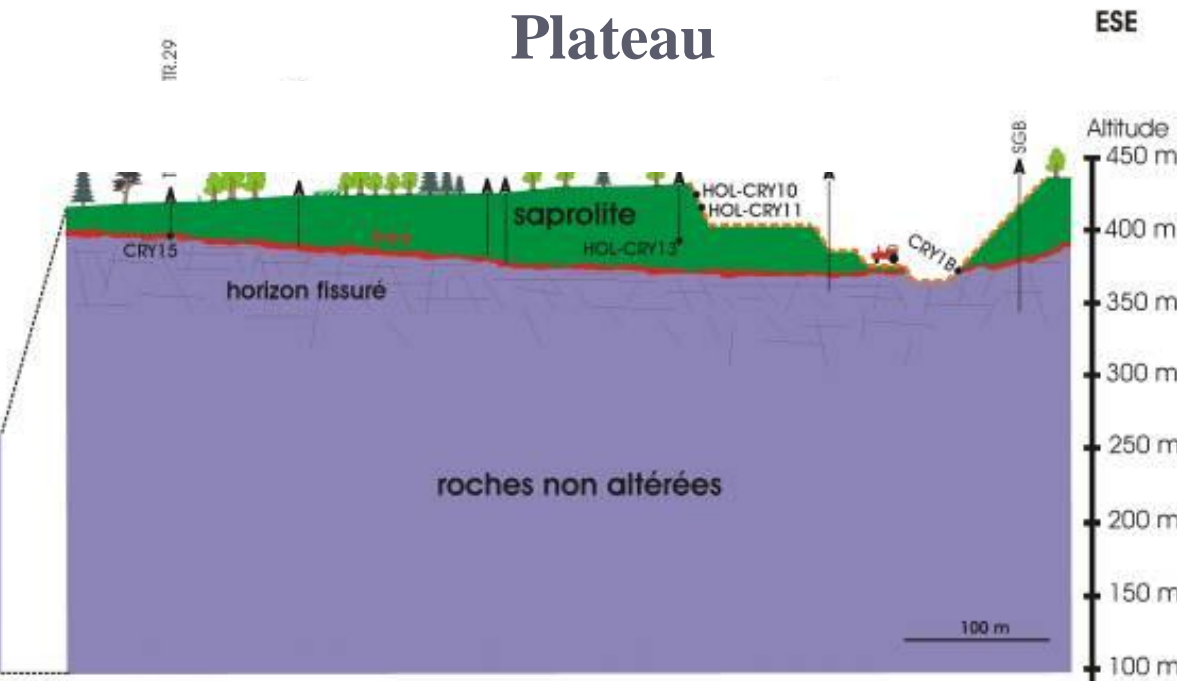
Vallée



TR.29

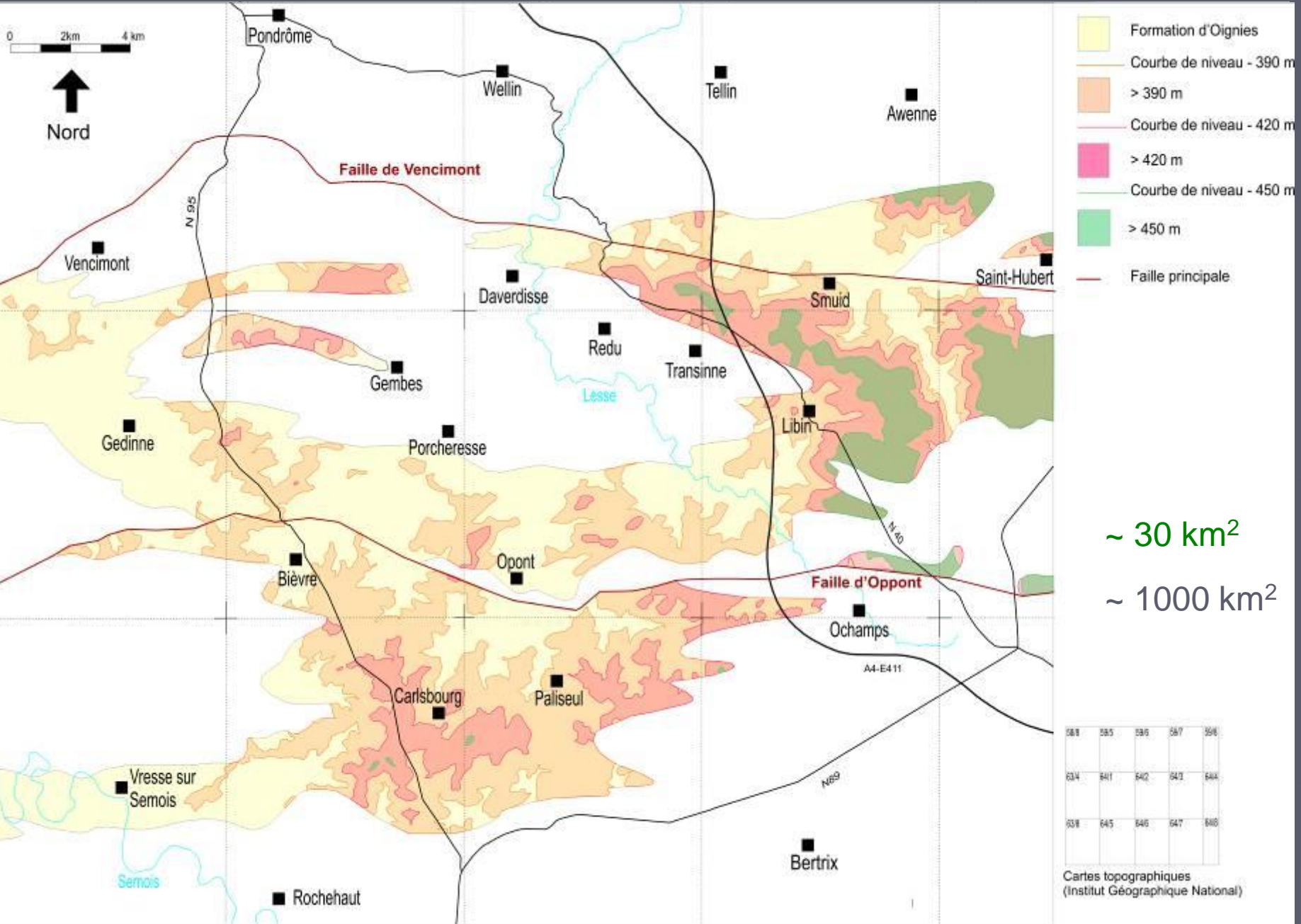
Plateau

ESE



Roches altérées (Haute-Lesse)

- Formation d'Oignies (Mirwart sensu SGW)
- altitude > 390 mètres

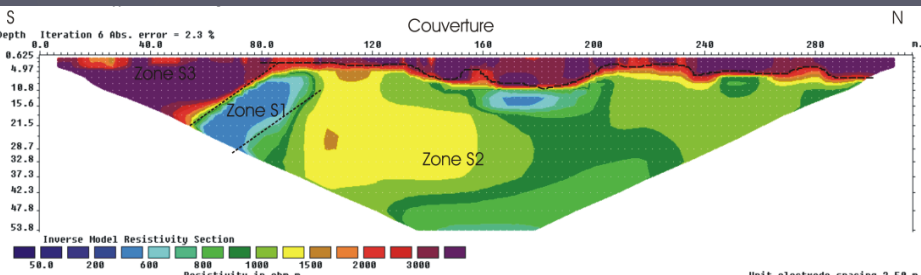


Géophysique

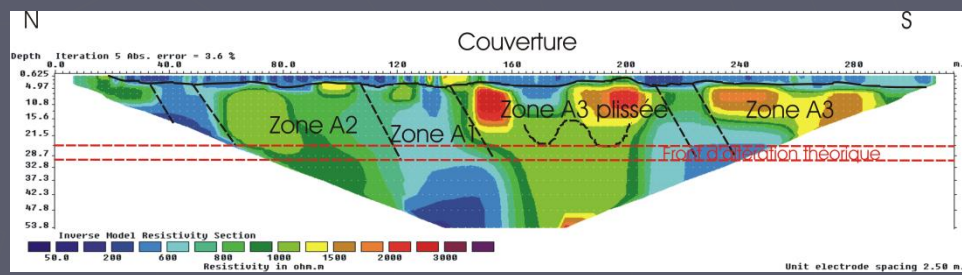
► Tomographie électrique

éprouvée par forages et tarières

Roches saines

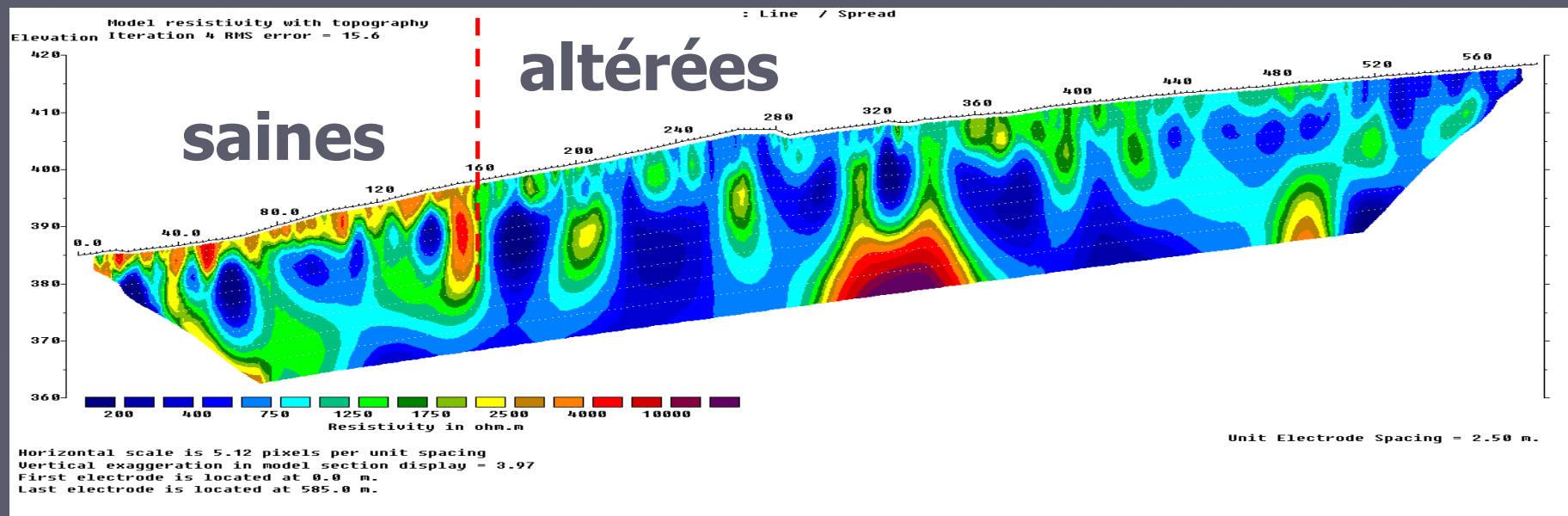


Roches altérées



saines

altérées



Brabant Massif (Ottignies)



SERVICE GÉOLOGIQUE DE BELGIQUE
BELGISCHE GEODISCHEEN DIENT
6614
766
-162 m - 265 m

SERVICE GÉOLOGIQUE DE BELGIQUE
BELGISCHE GEODISCHEEN DIENT
6614
766
-162 m - 166
166
-162 m - 166

SERVICE GÉOLOGIQUE DE BELGIQUE
BELGISCHE GEODISCHEEN DIENT
6614
766
-162 m - 166
166
-162 m - 166

SERVICE GÉOLOGIQUE DE BELGIQUE
BELGISCHE GEODISCHEEN DIENT
6614
766
-162 m - 166
166
-162 m - 166

SERVICE GÉOLOGIQUE DE BELGIQUE
BELGISCHE GEODISCHEEN DIENT
6614
766
-162 m - 166
166
-162 m - 166

SERVICE GÉOLOGIQUE DE BELGIQUE
BELGISCHE GEODISCHEEN DIENT
6614
766
-162 m - 166
166
-162 m - 166

SERVICE GÉOLOGIQUE DE BELGIQUE
BELGISCHE GEODISCHEEN DIENT
6614
766
-162 m - 166
166
-162 m - 166

SERVICE GÉOLOGIQUE DE BELGIQUE
BELGISCHE GEODISCHEEN DIENT
6614
766
-162 m - 166
166
-162 m - 166

SERVICE GÉOLOGIQUE DE BELGIQUE
BELGISCHE GEODISCHEEN DIENT
6614
766
-162 m - 166
166
-162 m - 166

162 m

247 m



Plus profond

165 m

264 m

SERVICE GÉOLOGIQUE DE BELGIQUE
BELGISCHE GEODISCHEEN DIENT
6515
97
-165 m - 234 m

SERVICE GÉOLOGIQUE DE BELGIQUE
BELGISCHE GEODISCHEEN DIENT
6515
97
-165 m - 234 m

SERVICE GÉOLOGIQUE DE BELGIQUE
BELGISCHE GEODISCHEEN DIENT
6515
97
-165 m - 234 m

SERVICE GÉOLOGIQUE DE BELGIQUE
BELGISCHE GEODISCHEEN DIENT
6515
97
-165 m - 234 m

SERVICE GÉOLOGIQUE DE BELGIQUE
BELGISCHE GEODISCHEEN DIENT
6515
97
-165 m - 234 m

SERVICE GÉOLOGIQUE DE BELGIQUE
BELGISCHE GEODISCHEEN DIENT
6515
97
-165 m - 234 m

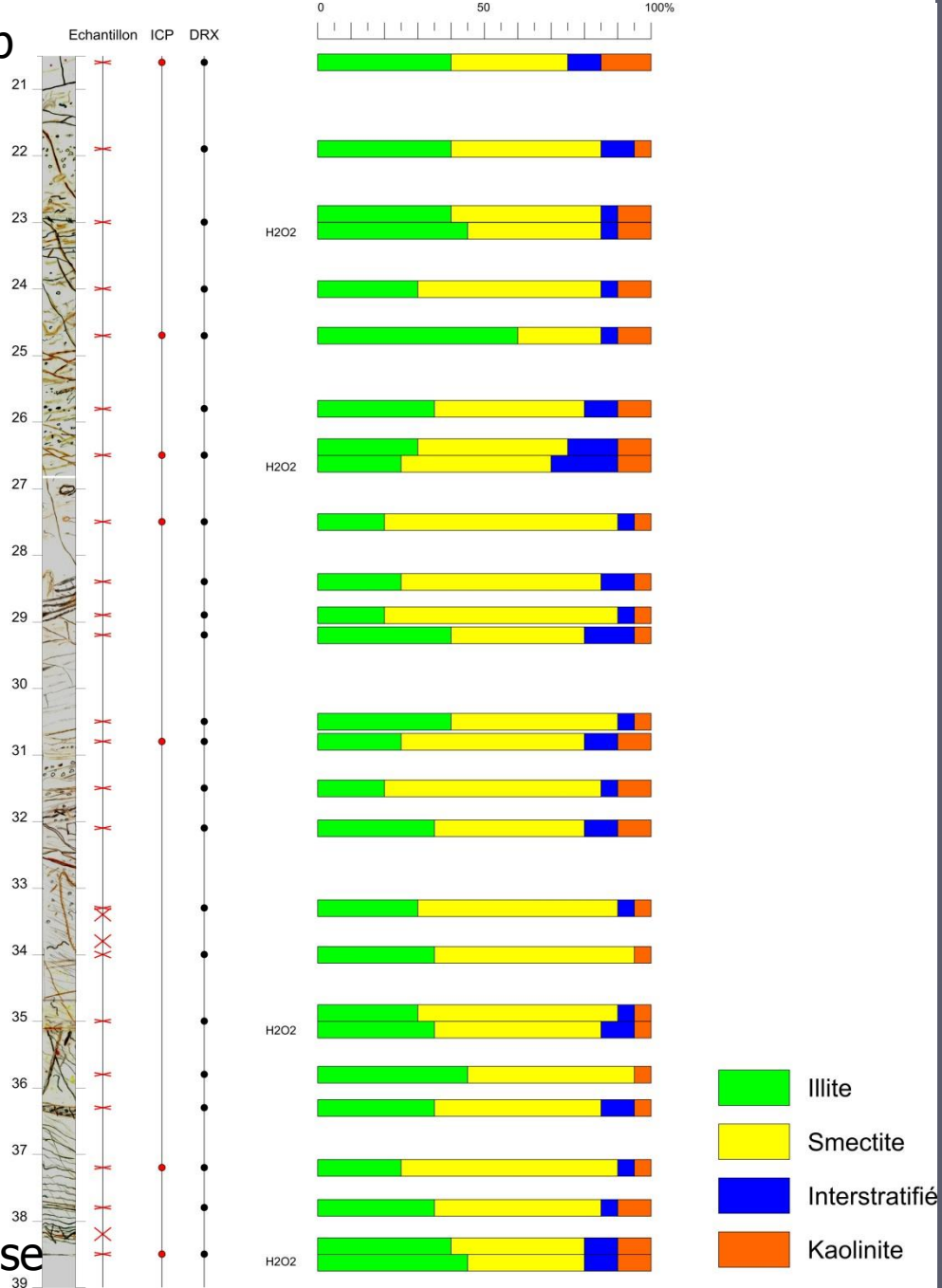
SERVICE GÉOLOGIQUE DE BELGIQUE
BELGISCHE GEODISCHEEN DIENT
6515
97
-165 m - 234 m

SERVICE GÉOLOGIQUE DE BELGIQUE
BELGISCHE GEODISCHEEN DIENT
6515
97
-165 m - 234 m

SERVICE GÉOLOGIQUE DE BELGIQUE
BELGISCHE GEODISCHEEN DIENT
6515
97
-165 m - 234 m

Minéralogie

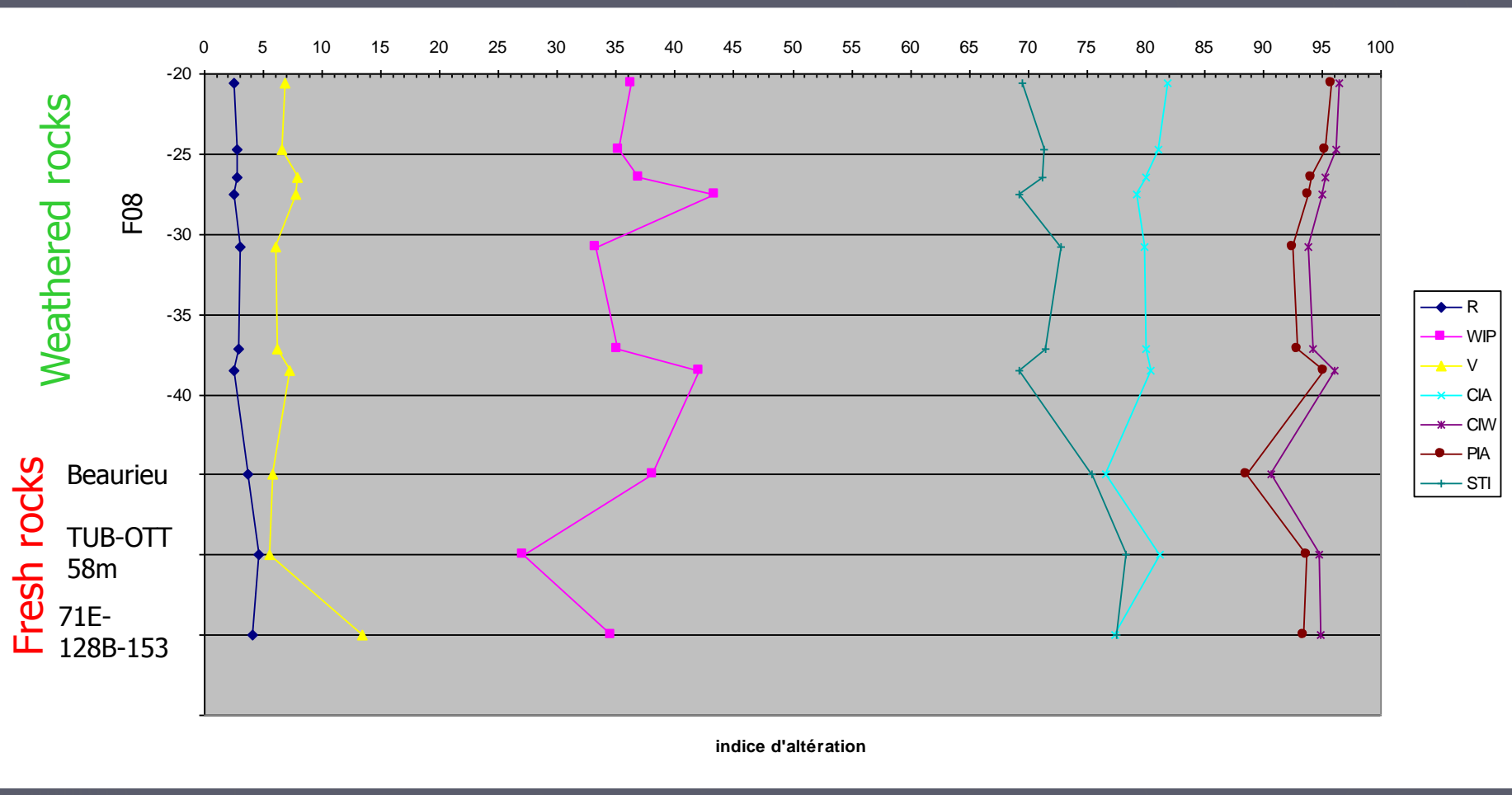
Top



Base

Barbier (2012)

Indice d'alteration météorique



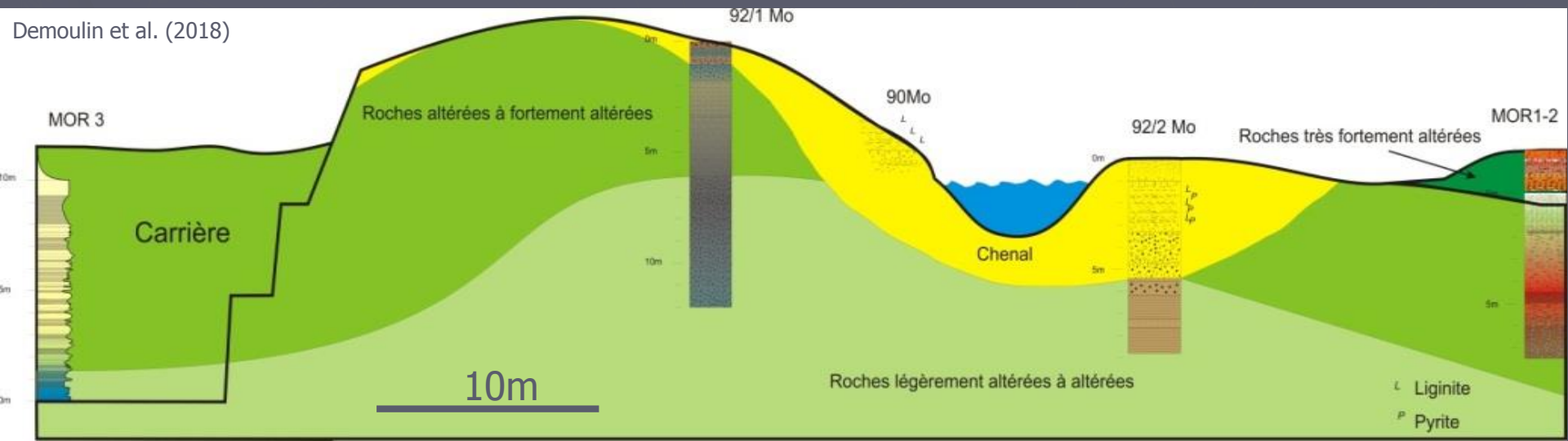


Paramètres :
Protolith
Fracturation - géodynamique
(climat)

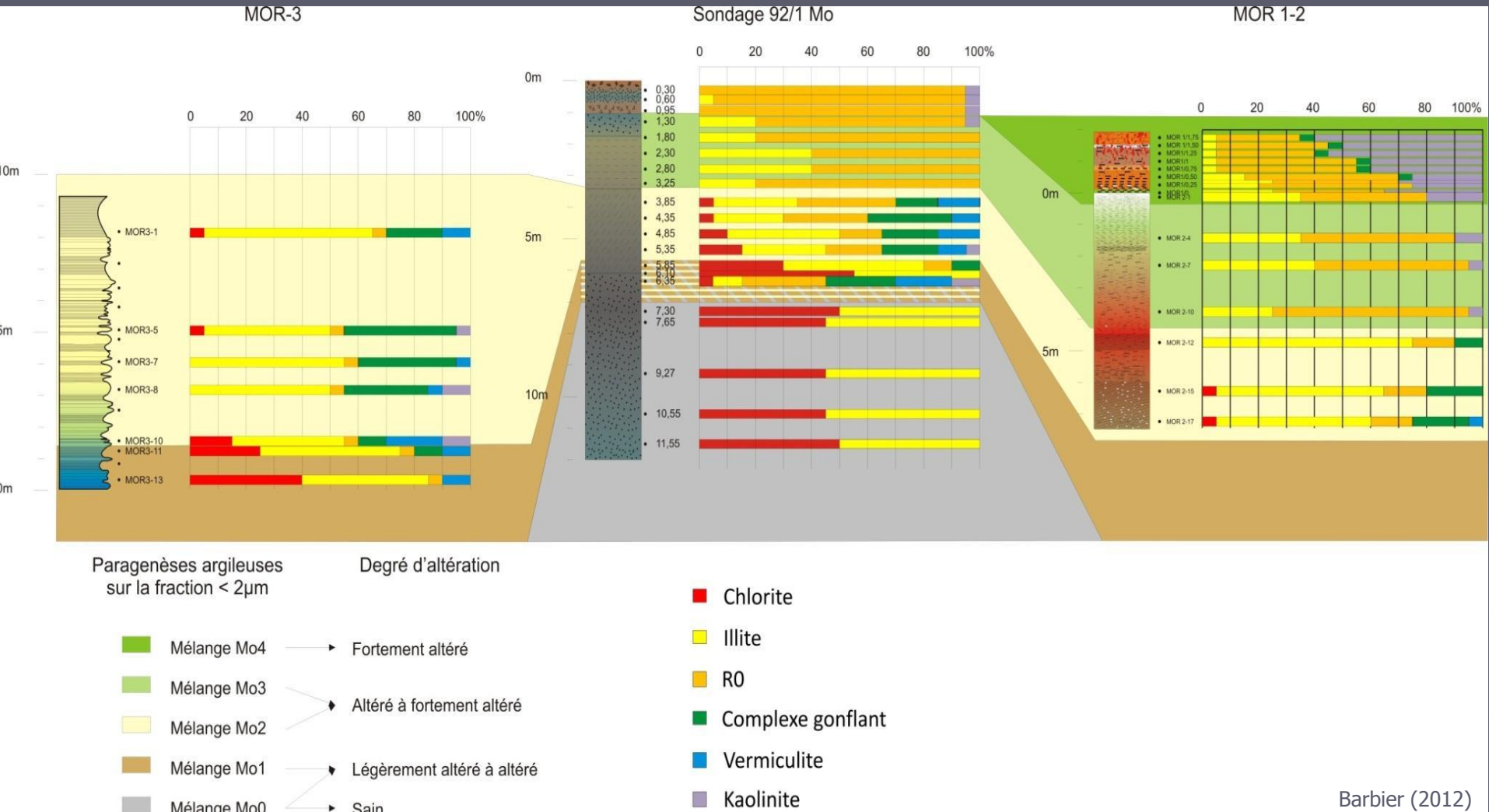
ESEM (Morialmé)



Demoulin et al. (2018)



Minéralogie



Mo4 : illite (+) interstratifié (++) kaolinite (++)

Mo3 : illite (++) interstratifié (+++) kaolinite (+)

Mo2 : chlorite (+) illite (++) interstratifié (+) complexe chloritique/gonflant (++)

Mo1 : chlorite (+) illite (+++) interstratifié + complexe chloritique/gonflant (+)

Mo0 : chlorite (+++) illite (+++)

Conclusions

- ▶ Genèse - caractérisation (en Belgique)
 - Protolith (sulfures - carbonates - silicates)
 - Indice d'alteration (*Weathering Index*)
 - Fracturation ?
- ▶ Cartographie
 - Terrain
 - Topographie
 - Tomographie électrique